

] ↑O 5r

~~10~~~~10~~

%\$)z g5ð%fi " b)E m I Ø_ X 8 Z

~~10~~

pOY 3d ~~10~~ « 7 o ~~10~~ #^a |
 (H J#^a, e ~~10~~ U h ~~10~~

O[☛ :

%\$)z g5ð%fi " _O[ÓI 5 O[^"l ö [6)E m I Ø_ I p M ¶ ý>* f"l ö > | g)E m
 S B M M 21V b s8j >*#.1= \ 9 _ | ~O ÓK S)E m I Ø 9xC M 2 \ K
 Z>* z" > | g j" b "3H (, m _4: G _ K>* j" b d F g ' I C M)E m
 b M 21V 4E ¥ K S Q b) Ý d ö_ M D >*? X)E m I Ø ~~10~~ @"z <)E m g"g
 OjOE M G \ @ [A S

~~10~~~~10~~~~10~~~~10~~~~10~~~~10~~~~10~~~~10~~~~10~~~~10~~~~10~~

(10) e c b l i " ? }7 Ot [A r M

直線形鋼矢板の継手強度について

Interlock Strength of Flat-type Steel Sheet Piling

中 西 輝 行*

Teruyuki Nakanishi

橋 本 隆 文**

Takafumi Hashimoto

柴 田 克 巳***

Katsumi Shibata

武 田 英 俊****

Hidetoshi Takeda

三 浦 啓 德*****

Hironori Miura

Synopsis:

Experimental and theoretical studies have been carried out on the interlock strength of flat-type sheet piling. Factors such as dimensions of interlocking part, mechanical properties of the steel and coefficient of friction have been examined to clarify their effect on the interlock strength. Also, sheet piling with interlock strength expected over 700 t/m and ease of driving has been designed by lowering axial load distribution to finger.

した構造物といえる。

したがって直線形鋼矢板の性能と継手の引張

直線形鋼矢板を使用したセル式構造物は、我が国では昭和29年に塩釜港の1万t岸壁工事に初めて採用され、その後新しい工法の開発¹⁾を契機に数々の新造されていて、当社でもウーブルの

強度は最も重要な特性で、鋼材の引張強度を十二分に生かすためには継手の離脱がウェブ破断より早期に生じないような継手形状に設計されるべきである。このことはウェブの厚いFAタイプではより有利であるが、薄いFAタイプでは逆に

- (2) 施工性がよいこと
- (3) 止水性がよいこと

止水性については、鋼矢板継手同志が高い引張力を受けて強固に接触した状態で使用されることから、継手形状による影響はさほど大きくな。

また施工性は、継手嵌合時の最大回転角が大きい

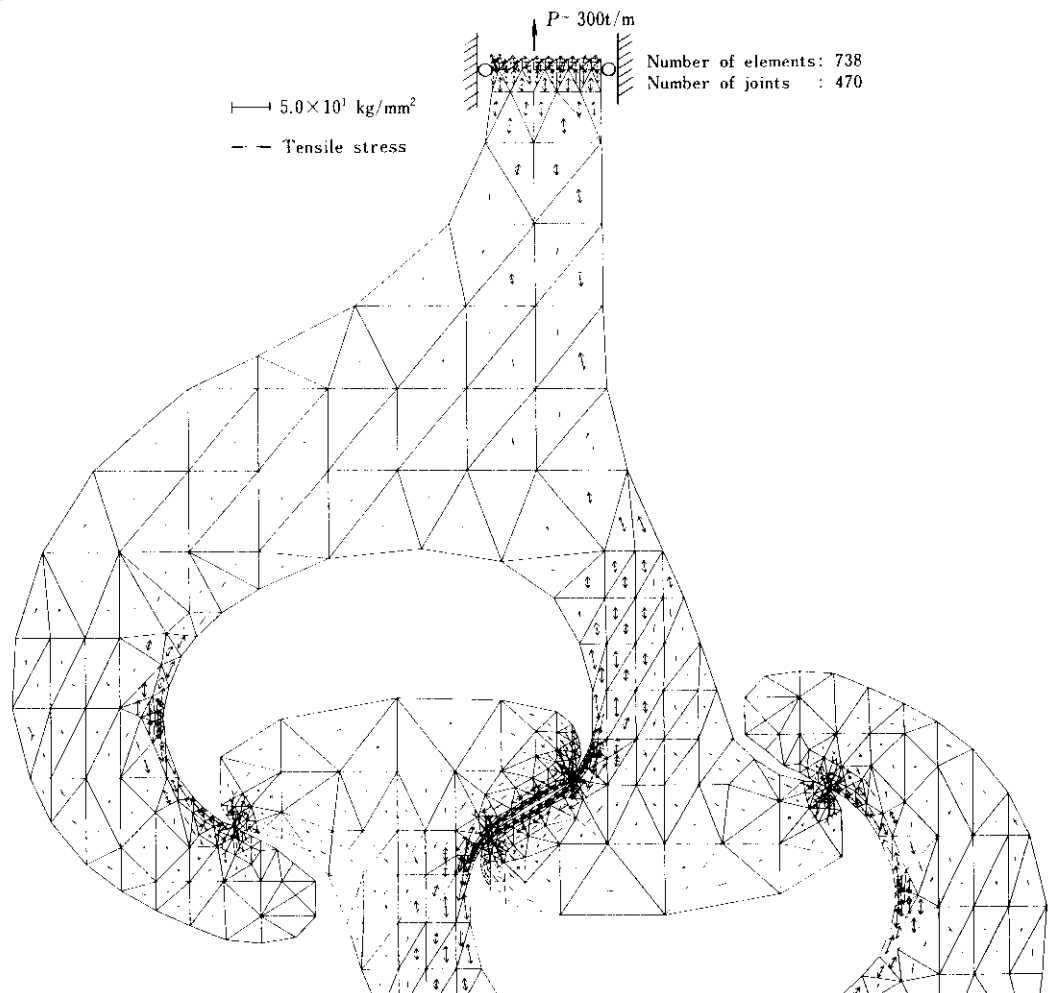
求めるため、まず直線形鋼矢板 F タイプの継手を嵌合させ、引張力を受けた状態で継手各部の応力度、変形量を有限要素法 (F.E.M.) により弾性計算を行った。なお、継手嵌合時の各接触点は負荷後も移動しないものと仮定した。

3・1・2 応力分布

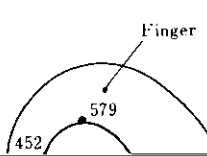
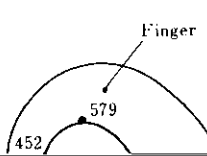
さは継手形状に左右される。さらに直線形鋼矢板ではセル強度の信頼性を高めようとして空室のか高

(1) 各要素の主応力

直線形鋼矢板の継手を構成する各要素の主応力



Technical Report of Kawasaki Steel Corporation

	Number of elements	Main stress (kg/mm ²)	Schematic view of interlocks
Finger	452	- 21.1	
	579	+ 27.2	
T.L.	473	- 24.6	
	534	- 23.2	

の変形量が大きいものと、それより小さいものとある。

また、この変形量は各部の変形量によって異なる。

(1) 主爪(測定点A, D)ではウェブ方向の伸びが支配的であり、曲げによるウェブ直角方向への伸

まり、各部の変形は母材の弾性変形によるもののみとなる。特に副爪が外側に曲がることをあらわ

(2) 副爪(測定点B, D, E, F)では爪を開くような曲げ变形が最も大きい。これに伴いウェブ方

がって副爪の開口変形が継手の離脱を左右していく。また、この変形量は各部の変形量を小さく

するためにはウェブ方向軸力分担を減少させ、副爪に働く曲げモーメントを低下させるような形状が継手強度の向上に連がるものと考えられる。

4. 継手強度の解析

4・1 継手強度係数

継手強度におよぼす形状の影響については主爪、副爪の形状、寸法、配置位置等によつて複雑であるが、主として主爪の形状、寸法、配置位置が継手強度に及ぼす影響を検討する。

点Bまでの垂直距離

b, b_0 : 主爪-主爪 接触点Aから主爪最小厚断面中心までの垂直距離

c, c_0 : 主爪-副爪 接触点B, またはCから主爪最小厚断面中心までの垂直距離

y, y_0 : 主爪-副爪 接触点B, またはCから副爪最

β : 負荷開始後嵌合が安定するために h にみあつた回転角度

μ : 摩擦係数

P : ウエブ方向軸力

Q_1 : 主爪-副爪接触点に作用するウェブ方向軸

(6), (12), (13), (14), (18)式より Q_1, Q_2 は次式で求まる。

$$Q_1 = \frac{a - c}{(2a - c) - \varepsilon(d + \delta)} \cdot P \quad \dots \dots \dots (19)$$

$$Q_2 = a - \varepsilon(d + \delta)$$

なお(19)式からFタイプ標準寸法での Q_1 を計

Standard dimension of F-type sheet piling

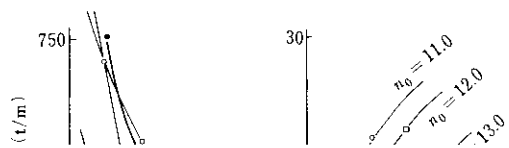
手形状を5/1倍尺で作図し、逆に Fig. 7 の表示に変換し、(27)式から K を計算した。この際あわせ

は著しい。したがって θ を損ねず、 P_0 を大きくするような継手形状を設計する場合には、以下の

を Fig. 8 で求めた回帰式に代入して P_0 を推定した。

(2) 計算結果

各部寸法 ($q_0, j_0, k_0, m_0, n_0, f_0, \alpha_0, h$) の継手





- (a) n_0 を小さくする
 (b) m_0 を大きくする

ことが可能である。なお θ は作図による結果とモデルによる結果に差がないため、あえて示さなかった。

を小さくする

5・1・2 繼手引張試験による確認

(1) 試験方法

前項の計算結果の確認を行うため Table 2 の各ケースの継手形状を機械加工により製作（以下モデルと記す）し、継手引張試験を行った。供試材の化学成分、機械的性質を Table 3 に示す。モデルを加工する機械の能力から試験片幅 18.0mm、試験片長さ 220mm とした。またモデルのウェブ厚さは継手形状、寸法の影響を明らかにするため、ウェブ破断が生じないようすべて 13.0mm とした。なおモデル機械加工精度は 1/100~2/100mm に入っている。

(2) 試驗結果

王元化继毛昌黎钱昆华里夫 E-mail: 10_11@zjhu.edu.cn

6. 材質特性の影響

6・1 試験方法

P_0 を大きくするには(27)式に含まれるK以外の項目Yを大きくするとよい。そこで P_0 に与えるYの影響を明らかにするため直線形鋼矢板の商用鋼であるSY 30とYを大きくするために溶製した高張力鋼(A鋼)とを比較調査した。供試材の化学成分、機械的性質をTable 4に示す。

6・2 試験結果

SY 30, A鋼の母材引張試験および継手引張試験の荷重-変位曲線をFig. 12に示す。継手引張強度は母材の降伏荷重の影響が大きく、降伏荷重

● 実験では負荷間隔直後は接触面に滑れを示す

長尺鋼矢板 KSP 5L ($l=33.5\text{ m}$)の施工

